

การวิเคราะห์สารลดการเสียดฟันพื้นฐานพอลิเมอร์บนเนื้อฟันมุชย์ ด้วยกล้องจุลทรรศน์อิเล็กตรอนแบบส่องกราด

อริมาศ แซ่บอนันต์* เกศรากรณ์ คงชา** นิตยา อนันต์** เบญญาภา ภฤกษ์อัครกุล**
นภัทร์ ลักษณะนท์** วรุณี เกิดวงศ์บันทิต**

บทคัดย่อ

วัตถุประสงค์: ศึกษาผลของสารลดการเสียดฟันพื้นฐานพอลิเมอร์ด้วยกล้องจุลทรรศน์อิเล็กตรอนแบบส่องกราดต่อการอุดท่อเนื้อฟัน ความลึกของสารที่สามารถเข้าไปในท่อเนื้อฟัน และการคงอยู่ของสารในท่อเนื้อฟัน

วัสดุอุปกรณ์และวิธีการ: แผ่นเนื้อฟันกรรมใหญ่ที่สามจำนวน 24 ชิ้น ถูกกัดผิวน้ำหนึ่งด้วยกรดฟอสฟอริกร้อยละ 37 แบ่งเป็น 6 กลุ่ม ๆ ละ 4 ชิ้น กลุ่มที่ 1 เป็นกลุ่มควบคุม กลุ่ม 2 ทาสารลดการเสียดฟันเอ็มแอลพอลิเมอร์ กลุ่ม 3-6 ทาสารลดการเสียดฟันเอ็มแอลพอลิเมอร์ แล้วนำไปแช่ในน้ำรีเวอร์สօลล์โมชิล เป็นเวลา 1 3 6 และ 12 ชั่วโมง ตามลำดับ ศึกษาการอุดท่อเนื้อฟันและความลึกของสารที่เข้าไปในท่อเนื้อฟันของแผ่นเนื้อฟันทั้งหมดด้วยกล้องจุลทรรศน์อิเล็กตรอนแบบส่องกราดในแนวตัดขวางและแนวความยาวของท่อเนื้อฟัน

ผลการศึกษา: ท่อเนื้อฟันหลังกัดกรดฟอสฟอริกมีขนาดเล็กกว่าเดิม 2.34-3.43 ไมโครเมตร เฉลี่ย 2.94 ไมโครเมตร การทาสารลดการเสียดฟันพื้นฐานเอ็มแอลพอลิเมอร์ พบสารอุดท่อเนื้อฟันและลึกเข้าไปในท่อเนื้อฟัน โดยสารสามารถเข้าไปในท่อเนื้อฟันลึก 105.75-119.42 ไมโครเมตร ที่กำลังขยาย 1,000 เท่า จำนวนผลลัพธ์ของสารลดลงเมื่อเวลาผ่านไปหลังแช่ในน้ำรีเวอร์สօลล์โมชิลเป็นเวลา 1 3 6 และ 12 ชั่วโมง ตามลำดับ เริ่มจากก่อนแช่ร้อยละ 83.34 และลดลงจนเป็นร้อยละ 73.47 66.20 56.32 และ 46.19 (ภาพตัดขวางท่อเนื้อฟัน) เริ่มจากก่อนแช่ร้อยละ 78.31 และลดลงจนเป็นร้อยละ 73.61 58.68 56.24 และ 43.35 (ภาพขนาดท่อเนื้อฟัน) สารลดการเสียดฟันพื้นฐานพอลิเมอร์ในทุกกลุ่มอุดท่อเนื้อฟันโดยมีความแตกต่างอย่างมีนัยสำคัญทางสถิติเมื่อเทียบกับแผ่นเนื้อฟันที่ถูกกรดกัดที่กำลังขยาย 1,000 เท่า ($p < 0.01$)

สรุป: สารลดการเสียดฟันพื้นฐานพอลิเมอร์มีประสิทธิภาพและคงอยู่ ในการอุดและลึกเข้าไปในท่อเนื้อฟันมากกว่าร้อยละ 50 หลังทาสาร 12 ชั่วโมง

คำสำคัญ: เนื้อฟันที่ໄວต่อการเสียดฟันพื้นฐานพอลิเมอร์ สารลดการเสียดฟันพื้นฐานพอลิเมอร์ กล้องจุลทรรศน์อิเล็กตรอนแบบส่องกราด

วันที่รับ: 4 กันยายน 2566

วันที่แก้ไข: 23 มิถุนายน 2567

วันที่ตอบรับ: 11 กันยายน 2567

*โรงพยาบาลพระนั่งเกล้า 91 ถนนทบูรี ต.บางกระ或多 อ.เมือง จ.นนทบุรี 11000

**สำนักวิชาทันตแพทยศาสตร์ มหาวิทยาลัยแม่ฟ้าหลวง 365 หมู่ 12 ตำบลนาอง อำเภอเมืองเชียงราย จังหวัดเชียงราย 57100

Scanning Electron Microscopic Analyses of Polymer-Based Desensitizing Agent on Human Dentine

Athimas Chatanan* Ketsaraporn Kacha** Chitnucha Oonban** Benyapa Phruekakkharakun** Napat Luppanakan** Varunee Kerdvongbundit**

Abstract

Objectives: To evaluate the effects of polymer-based desensitizing agent by scanning electron microscope that occludes, penetrates into and persists in the dentinal tubules.

Materials and Methods: Twenty-four dentine discs from third molars were etched with 37% phosphoric acid and divided into 6 groups (each group 4 pieces); Group 1: served as control, Group 2: applied with MS polymer desensitizer, Group 3-6: applied with MS polymer desensitizer and immersed in reversed osmosis water for 1, 3, 6 and 12 hours, respectively. All dentine discs were examined dentinal tubule occlusion and penetration by SEM in both cross-sectional and longitudinal views.

Results: The diameters of dentinal tubules that etched with phosphoric acid were 2.34 to 3.43 μm and the mean was 2.94 μm . The MS polymer-based desensitizing agent occluded and penetrated into the dentinal tubules at the depth from 105.75 to 119.42 μm on magnification 1,000X. When the samples were immersed in reverse osmosis water for 1, 3, 6 and 12 hours, the particles decreased respectively from before immersed 83.34 to 73.47, 66.20, 56.32 until 46.19 % in cross-sectional view and from before immersed 78.31 to 73.61, 58.68, 56.24 until 43.35 % in longitudinal view. The polymer-based desensitizing agent in all groups were statistically significant difference occluded dentinal tubules compared to etched dentine discs on magnification 1,000X ($p < 0.01$).

Conclusion: Polymer-based desensitizing agent has efficiency and persist in dentinal tubule occlusion and penetration more than 50% after 12 hours of application.

Keywords: Hypersensitive dentine, MS polymer, Polymer-based desensitizing agent, Scanning electron microscope

Received Date: Sep 4, 2023

Revised Date: Jun 23, 2024

Accepted Date: Sep 11, 2024

*Pranangkla Hospital 91 Nonthaburi Road, Bang Krasaw, Mueang Nonthaburi District, Nonthaburi 11000, Thailand

**School of Dentistry, Mae Fah Luang University, Mae Fah Luang University 365 Moo 12, Nang Lae Subdistrict, Mueng Chiang Rai District, Chiang Rai 57100, Thailand

บทนำ (Introduction)

อาการเสียบฟันมักมาจากการหล่ายสารเหดุ เช่น เหงือกร่น (gingival recession) ฟันสึกจากการขัดถู (abrasion) กรด (erosion) แรงที่ไม่ลงตามแนวแกนฟัน (abfraction) หรือการรักษาทางทันตกรรม เช่น การขุดทิ้นน้ำลายและเกลารากฟัน (scaling and root planing) การสูญเสียชั้นเคลือบพัน (enamel) นำไปสู่เนื้อฟันที่เผยผิว (exposed dentine) (1-2) ซึ่งในชั้นเนื้อฟันมีท่อเนื้อฟัน (dental tubule) ที่มีของเหลวอยู่ภายใน หากเกิดการเคลื่อนไหวของของเหลวภายในท่อเนื้อฟันจากสิ่งกระตุ้น เช่น น้ำเย็น น้ำร้อน ของหวาน การเขยี่ย (exploration) การเป่าลม (air blow) ก็จะเกิดอาการเสียบฟัน ตามทฤษฎีการเคลื่อนไหวของของเหลวในท่อเนื้อฟัน (hydrodynamic theory) (3) ในปัจจุบัน มีการรักษาหล่ายรูปแบบทั่วไป (invasive) เช่น การบูรณะเนื้อฟันด้วยวัสดุอุดฟัน และไม่รุกราน (non-invasive) เช่น ทาสารเคลือบพันที่มีคุณสมบัติอุดท่อเนื้อฟัน (block dentinal tubule) และยังมีการกระตุ้นกระแสประสาท (depolarizing nerve synapse) (4) จึงเป็นที่นิยมใช้ยาสีฟันที่มีส่วนผสมของฟลูออโรไดท์เป็นการรักษาแบบไม่รุกราน และเลือกใช้วิธีนี้เป็นอันดับแรก (5) ส่วนการนำสารที่มีคุณสมบัติอุดท่อเนื้อฟันเพื่อลดการเสียบฟันก็มีการใช้อย่างกว้างขวาง โดยสามารถจำแนกได้เป็น 2 ประเภท (6) คือ ตามการใช้งาน มีแบบที่ใช้ที่บ้าน จะใช้ง่ายและสามารถใช้รักษาฟันหลายชิ้น เช่น ผงขัดฟัน (tooth powder) ยาสีฟัน น้ำยาบ้วนปากและมากฝรั่ง สำหรับแบบที่ใช้โดยทันตแพทย์หรือทันตบุคลากร วิธีนี้ชั้บช้อนและมีค่าใช้จ่าย ใช้ในการรักษาพันบางชิ้น นอกจากนี้ยังแบ่งตามกลไกการทำงานทำงาน (mechanism of action) เช่น ขัดขวางการไหลของของเหลวในท่อเนื้อฟัน (blocking the flow of tubular liquid) การอุดท่อเนื้อฟัน (occlusion of dentinal tubule) เช่น ฟลูออโรไดท์ (Fluoride) โดยการตอกตะกอนของแคลเซียมฟลูออโรไดท์คริสตัล (Calcium Fluoride crystal) ออกชาเลต (Oxalate) โดยการรวมกันของแคลเซียมออกชาเลต (Calcium Oxalate) จึงลดการซึมผ่านเนื้อฟัน (dentine permeability) ได้ถึงร้อยละ 98 (7,8) เช่น เอ็มเอสโพลิเมอร์ (MS polymer) และโพแทสเซียม

ออกชาเลต (Potassium Oxalate) วาร์นิช (Varnish) ใช้การคลุมเนื้อฟันที่เผยผิว เช่น โคปอล วาร์นิช (Copal Varnish) และอะซีฟเรชิน (adhesive resin) สารเคลือบท่อเนื้อฟัน เช่น วาร์นิชบอนด์ดิ้งอเจนท์ (bonding agent) กลูมา (Gluma[®]) และอื่น ๆ นอกจากนี้ ยังมีสารที่ลดการตอบสนองเส้นประสาทที่มีผลต่อความเจ็บปวด เช่น โพแทสเซียมไนเตรต (Potassium Nitrate) โดยประจุโพแทสเซียมผ่านเข้าไปในท่อเนื้อฟัน จึงลดการกระตุ้นเส้นประสาทที่นำไปสู่ความเจ็บปวด จากการศึกษาของ Davies และคณะ ปี 2011 (9) พบการอุดท่อเนื้อฟันด้วยยาสีฟัน 3 ชนิด ที่มีส่วนประกอบอาร์จีนีน (Arginine) สตรอนเทียม (Strontium) และฟลูออโรไดท์ พบการอุดท่อเนื้อฟัน ถึงแม้หลังจากการทดสอบด้วยกรด (acid challenge) นอกเหนือไปยังพนการอุดท่อเนื้อฟันหลังใช้โพแทสเซียมออกชาเลต (10) และมีการศึกษาถึงการลดอาการเสียบฟันด้วยสารชนิดต่าง ๆ (6) ทั้งนี้การศึกษาในปี 2021 พบการใช้โพแทสเซียมออกชาเลตร้อยละ 3 ลดการเสียบฟันในมนุษย์ โดยคงผลการอุดท่อเนื้อฟันและลดการซึมผ่านเนื้อฟันจากการศึกษาในห้องปฏิบัติการในช่วงเวลา 1 ชั่วโมง (11) ส่วน Kijssamanmith และคณะ (12) พบฟลูออโรไดท์ ออกชาเลตและอะซีฟเรชินหยุดการเคลื่อนของของเหลวในท่อเนื้อฟัน จึงลดการซึมผ่านเนื้อฟัน นอกจากนี้กรดอินทรีคิด (organic acid) ในอาหารจะละลายชั้นสมีเออร์ (smear layer) หรือสารที่อุดท่อเนื้อฟันทำให้ท่อเนื้อฟันเปิด เพิ่มการซึมผ่านของเนื้อฟันตลอดจนการเสียบฟัน (13)

เมทิลเมทาไครเลต-พี-สไตรีนชัลโพนิกแอดซิด โคโพลิเมอร์ (Methyl Methacrylate-P-Styrene Sulfonic acid copolymer) หรือเอ็มเอสโพลิเมอร์ เป็นโคโพลิเมอร์ที่ละลายน้ำ ประกอบด้วยเมทิลเมทาไครเลต และกรดสไตรีนชัลโพนิก เมื่อมีการทาลงบนผิวนีือฟันจะสร้างพันธะกับแคลเซียมไอโอน (Calcium ion) ที่ปล่อยออกมานาจากชั้นสมีเออร์ (smear layer) บนพื้นผิวนีือฟันและยึดติดบนผิวนีือฟัน เกิดเป็นโครงสร้างผลึกโพลิเมอร์ของแคลเซียมที่ไม่ละลายน้ำ ปกคลุมท่อเนื้อฟันที่เผยผิว จึงอุดปิดท่อเนื้อฟัน (14) การศึกษาในปี 2015 รายงานการใช้สารลดการเสียบฟันเอ็มเอส

โพลิเมอร์ที่มีโซเดียมฟลูออไรด์ (sodium fluoride) ที่เรียกว่าเอ็มแอลโคทเอย์ (MS coat F) พบฟลูออไรด์ ไอโอน (Fluoride ion) ถูกปล่อยออกม้าปิดท่อเนื้อฟัน และลดการเกิดการปราศจากแร่ชาตุ (demineralization) เม้ภายในได้ภาวะที่เป็นกรด และห่วงผลบัญชีการผุของฟันได้อีกด้วย (15) จากการสารลดการเลี้ยวฟันเอ็มแอล โพลิเมอร์ที่มีฟลูออไรด์เป็นเวลา 5 นาที จะทำให้ฟลูออไรด์ซึมผ่านเข้าเนื้อฟันได้มากขึ้น เมื่อเทียบกับการทาสารลดการเลี้ยวฟัน 30 วินาที จึงสามารถทนกรด (acid resistant) ได้มากขึ้น (16)

อีกทั้งมีรายงานว่า สารลดการเลี้ยวฟันที่มีเอ็มแอล โพลิเมอร์อุดท่อเนื้อฟัน และสามารถลดอาการเสียวฟันจากการกระตุ้นของอุณหภูมิ เชิงกลและจากสารเคมีได้อย่างไร้กีดขวางสารลดการเลี้ยวฟันที่มีเอ็มแอลโพลิเมอร์ ยังประกอบไปด้วยกรดออกชาลิก (Oxalic acid) ร้อยละ 1 ยังสามารถอุดท่อเนื้อฟันได้ลึกและดีกว่าสารลดการเลี้ยวฟันที่มีฟลูออโรอลูมิโนแคลเซียมซิลิกเกตเป็นองค์ประกอบ (Fluoro Alumino Calcium silicate-based desensitizer) และสารลดการเลี้ยวฟันที่มีแคลเซียมฟอสเฟตเป็นองค์ประกอบ (Calcium Phosphate-based desensitizer) ในปัจจุบันมีการพัฒนาองค์ประกอบของสารลดการเลี้ยวฟันที่มีเอ็มแอลโพลิเมอร์ โดยเพิ่มความเข้มข้นของของเหลวในรูปแบบเจล เพื่อเพิ่มการยึดติดบนผิวน้ำฟัน โซเดียมฟลูออไรด์และโพแทสเซียมฟอสเฟต (Potassium Phosphate) ช่วยเพิ่มความแข็งแรงของเนื้อฟันและลดการกระตุ้นเส้นประสาทในตัวฟัน (14-15,17) แต่อย่างไรก็ตามปฏิกรณ์ที่เกิดขึ้นระหว่างเอ็มแอลโพลิเมอร์ กรดออกชาลิกและฟลูออไรด์ ไอโอน รวมทั้งการอุดปิดและคงอยู่ในท่อเนื้อฟันยังคงไม่ทราบแน่นอน (14,18) การศึกษานี้เพื่อศึกษาผลของสารลดการเลี้ยวฟันพื้นฐานโพลิเมอร์ (polymer-based desensitizing agent) ด้วยกล้องจุลทรรศน์อิเล็กตรอนแบบส่องกราดในการอุดท่อเนื้อฟันความลึกของสารลดการเลี้ยวฟันพื้นฐานโพลิเมอร์ที่สามารถเข้าไปในท่อเนื้อฟัน ประลิทีภากการคงอยู่ของสารลดการเลี้ยวฟันพื้นฐานโพลิเมอร์ที่เข้าไปและอยู่ในท่อเนื้อฟัน ณ ระยะเวลาที่ต่างกัน

วัสดุอุปกรณ์และวิธีการ (Materials and Methods)

การศึกษานี้ได้รับการรับรองจากคณะกรรมการจิตรกรรมการวิจัยในมนุษย์ มหาวิทยาลัยแม่ฟ้าหลวง 2565 รหัสโครงการวิจัย: EC 22113-22 COA: 140/2022 โดยเป็นการวิจัยในห้องปฏิบัติการ ที่ใช้แผ่นเนื้อฟัน (dentine disc) มนุษย์ ที่มีอายุ 18-25 ปี จากฟันรามใหญ่ซึ่งสาม (19-21) ชิ้นปราศจากโรคบริทันต์ ฟันผุ การบูรณะ การรักษาคลองรากฟัน ตัวฟันแตก ฟันสึกจากการขัดถู ลึกกว่าร่องจำกัด การละลายของรากฟันภายในอก/ภายใน ความผิดปกติระหว่างการสร้างฟัน การแตกร้าว จำนวน 24 ชิ้น (14,22)

การดำเนินการวิจัย

เก็บฟันที่ถอนจากคลินิกทันตกรรม สำนักวิชาทันตแพทยศาสตร์ มหาวิทยาลัยแม่ฟ้าหลวง ชิ้นละชิ้น ในน้ำเกลือที่มีความเข้มข้นร้อยละ 0.9 ที่มีส่วนประกอบของยาอะม็อกซิซิลลิน (Amoxicillin) 500 มิลลิกรัม/ลิตร (23) นำมาเลือกฟันที่มีคุณสมบัติตามที่ต้องการ ฉะลังและชูดเนื้อเยื่อรอบฟันให้หมดจนสะอาด จำนวน 24 ชิ้น ดังนี้

นำไปแช่ในน้ำเกลือที่มีความเข้มข้นร้อยละ 0.9 ที่มีส่วนประกอบของยาอะม็อกซิซิลลิน 500 มิลลิกรัม/ลิตร ชิ้นหลังจากถอนฟัน ฟันจะถูกนำมาวิจัยภายใน 2 เดือน นำฟันไปตัดในแนวตัดขวาง (cross section) ห่างจากยอดปุ่มฟัน 2 มิลลิเมตร (10) เพื่อให้ได้แผ่นเนื้อฟันตัวยวดิสเพชร (diamond disc) (16) ให้ได้ขนาดเส้นผ่านศูนย์กลางประมาณ 8 มิลลิเมตร และหนา 2 มิลลิเมตร (24) นำไปขัดด้วยกระดาษทรายเบอร์ 600 800 1,000 1,200 1,500 2,000 และ 3,000 ตามลำดับ เก็บชิ้นเนื้อฟันทั้งหมดไว้ในน้ำเกลือที่มีความเข้มข้นร้อยละ 0.9 ที่มีส่วนประกอบของยาอะม็อกซิซิลลิน 500 มิลลิกรัม/ลิตร เพื่อรักษาสารลดการเลี้ยวฟันพื้นฐานโพลิเมอร์ (Sun Medical Co., Ltd., Shiga, Japan) ที่ประกอบด้วยโพลิเมทธิลเมทาไครเลต (Polymethyl-Methacrylate) โพลีลิตรีนชัลฟอนิกแอซิดโคลอพลิเมอร์ กรดออกชาลิก ฟลูออไรด์และน้ำ โดยก่อนนำไปทดสอบให้นำไปทำความสะอาดด้วยเครื่องล้างอัลตราโซนิก (Ultrasonic cleaner) กัดผิวน้ำฟันด้วยกรดฟอสฟอริก (Phosphoric acid)

ความเข้มข้นร้อยละ 37 นาน 15 วินาที เพื่อกำจัดชั้นสเมียร์ นำไปล้างด้วยน้ำรีเวอร์สองลิตรโมซิล (reverse osmosis water) นาน 1 นาที เก็บเป็นกลุ่มที่ 1 จำนวน 4 ชิ้น นำเนื้อฟันที่เหลือ 20 ชิ้น มาทดสอบการเลี้ยงฟันพื้นฐานพอลิเมอร์ในปริมาณเท่ากับเมล็ดข้าว เส้นผ่านศูนย์กลาง 3 มิลลิเมตร (ตามคำแนะนำของบริษัท ไดร์เด็นท์ล อินคอร์ปอเรชั่น จำกัด) นำผิวนี้อ่อนให้แน่น นำไปล้างน้ำรีเวอร์สองลิตรโมซิล เพื่อเก็บเป็นกลุ่มที่ 2 จำนวน 4 ชิ้น นำเนื้อฟันที่เหลือ 16 ชิ้น ไปเชิงน้ำรีเวอร์สองลิตรโมซิล เป็นเวลา 1, 3, 6 และ 12 ชั่วโมง เก็บไว้เป็นกลุ่มที่ 3, 4, 5 และ 6 จำนวนกลุ่มละ 4 ชิ้น

การเก็บรวบรวมและวิเคราะห์ข้อมูล

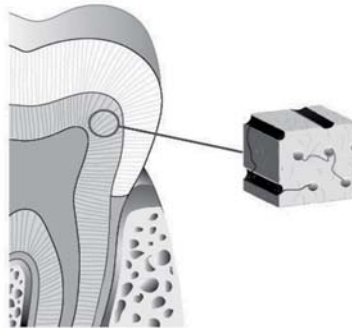
นำแผ่นเนื้อฟันที่เก็บผิวนี้อ่อนที่ได้มาตัวอย่างจำนวน 24 ชิ้น จัดเป็น 6 กลุ่ม ๆ ละ 4 ชิ้น กลุ่มที่ 1 เป็นกลุ่มควบคุม กลุ่มที่ 2 ขัดด้วยสารลดการเลี้ยงฟันพื้นฐานพอลิเมอร์ กลุ่มที่ 3-6 ขัดด้วยสารลดการเลี้ยงฟัน

พื้นฐานพอลิเมอร์ นำไปแข็งในน้ำรีเวอร์สองลิตรโมซิล เป็นเวลา 1, 3, 6 และ 12 ชั่วโมง ตามลำดับ ดังรูปที่ 1 นำแผ่นเนื้อฟันแต่ละกลุ่มจำนวน 4 ชิ้น ไปเตรียมศึกษาด้วยกล้องจุลทรรศน์อิเล็กทรอนแบบล่องกราด (Scanning electron microscope, SEM; Mira, Tescan, Czech Republic) เพื่อศึกษาภาพในแนวขวางท่อเนื้อฟัน หลังจากนั้นนำแผ่นเนื้อฟันทั้งหมดไปฝ่าตามแนวความยาวของท่อเนื้อฟัน ดังนั้นในแต่ละกลุ่มจะมีแผ่นเนื้อฟันในแนวขวางท่อเนื้อฟันจำนวน 8 ชิ้น แล้วนำไปเตรียมเพื่อศึกษาด้วยกล้องจุลทรรศน์อิเล็กทรอนแบบล่องกราด (25) โดยเก็บชิ้นเนื้อฟันไว้ในโดดความชื้น (desiccator) อย่างน้อย 2 วัน ระหว่างรอการศึกษาด้วยกล้องจุลทรรศน์ อิเล็กทรอนชนิดล่องกราด (10) เนื้อฟันประกอบไปด้วยท่อเนื้อฟันที่รวมตัวกันดังรูปที่ 2 หากเคลือบฟัน/เคลือบ rakฟันลึกหรือหายไป จะทำให้ท่อเนื้อฟันโผล่และเกิดอาการเลี้ยงฟัน การใช้สารอุดท่อเนื้อฟันจะช่วยลดอาการเลี้ยงฟันได้



รูปที่ 1 แผนผังแสดงการเตรียมและแบ่งกลุ่มชิ้นตัวอย่าง

Fig 1. A diagram showing the preparation and grouping of samples.



รูปที่ 2 แสดงท่อเนื้อฟันในแนวตัดขวางและแนวขนานท่อเนื้อฟัน

Fig 2. Block section of dentine shows the cross-sectional and parallel views of dentinal tubule.

การวิเคราะห์ข้อมูล แบ่งเป็น 2 ชุด

ข้อมูลชุดที่ 1 เป็นการศึกษาสารลดการเลี้ยวฟันพื้นฐานพอลิเมอร์ที่อุดท่อเนื้อฟัน โดยนับผลลัพธ์ของสารลดการเลี้ยวฟันพื้นฐานพอลิเมอร์ที่อุดท่อเนื้อฟัน จากภาพแนวตัดขวางท่อเนื้อฟันที่กำลังขยาย 1,000 3,000 และ 5,000 เท่า โดยไม่ได้คำนวณที่กำลังขยาย 3,000 และ 5,000 เท่า เนื่องจากพื้นที่ที่ใช้ศึกษา (area of interest) ถูกขยาย ณ ตำแหน่งใดตำแหน่งหนึ่ง ทำให้ค่าที่ได้ไม่

นำเชื่อถือเมื่อเทียบกับค่าของ 1,000 เท่า เกณฑ์การนับท่อเนื้อฟันตามแนวตัดขวาง คือ นับท่อเนื้อฟันทุกท่อ ส่วนท่อที่อยู่ที่ขอบของภาพจะนับเมื่อเห็นมากกว่าสอง ในสามของท่อเนื้อฟันทั้งหมด ส่วนเกณฑ์การนับอนุภาคของสารลดการเลี้ยวฟันพื้นฐานพอลิเมอร์ที่เข้าไปท่อเนื้อฟันคือ การมีผลลัพธ์ของสารลดการเลี้ยวฟันพื้นฐานพอลิเมอร์

คำนวณอกมาเป็นร้อยละของท่อเนื้อฟันที่มีสารลดการเลี้ยวฟันพื้นฐานพอลิเมอร์

$$\text{ร้อยละของท่อเนื้อฟันที่มีสารลดการเลี้ยวฟัน} = \frac{(\text{จำนวนท่อเนื้อฟันที่มีสารลดการเลี้ยวฟันพื้นฐานพอลิเมอร์} \times 100)}{\text{จำนวนท่อเนื้อฟันทั้งหมด}}$$

จัดจำแนกเป็น 5 กลุ่ม ตามการอุดของสารลดการเลี้ยวฟันพื้นฐานพอลิเมอร์ (9,25)

กลุ่ม 1 อุดท่อเนื้อฟันทั้งหมด (ร้อยละ 100)

กลุ่ม 2. อุดท่อเนื้อฟันส่วนใหญ่ (ร้อยละ 50 ถึงน้อยกว่า 100)

กลุ่ม 3. อุดท่อเนื้อฟันบางส่วน (ร้อยละ 25 ถึงน้อยกว่า 50)

กลุ่ม 4. อุดท่อเนื้อฟันส่วนน้อย (ร้อยละน้อยกว่า 25)

กลุ่ม 5. ไม่อุดท่อเนื้อฟัน (ร้อยละ 0)

ข้อมูลชุดที่ 2 เป็นการศึกษาสารลดการเลี้ยวฟันพื้นฐานพอลิเมอร์ที่เข้าไปในท่อเนื้อฟัน โดยนับผลลัพธ์ของสารลดการเลี้ยวฟันพื้นฐานพอลิเมอร์ในท่อเนื้อฟัน จาก

ภาพตัดแนวขนานท่อเนื้อฟัน เกณฑ์การนับท่อเนื้อฟันตามแนวท่อเนื้อฟัน จะพิจารณาท่อเนื้อฟันที่เห็นลักษณะท่ออย่างต่อเนื่อง

คำนวนเป็นร้อยละของจำนวนท่อเนื้อฟันที่มีสารลดการเลี้ยวพันพื้นฐานพอลิเมอร์เข้าไป (ที่กำลังขยาย 1,000 3,000 และ 5,000 เท่า)

$$\text{ร้อยละของท่อเนื้อฟันที่มีสารลดการเลี้ยวพัน} = \frac{(\text{จำนวนท่อเนื้อฟันที่มีสารลดการเลี้ยวพันพื้นฐานพอลิเมอร์เข้าไป} \times 100)}{\text{จำนวนท่อเนื้อฟันทั้งหมด}}$$

ส่วนความลึกของสารลดการเลี้ยวพันพื้นฐานพอลิเมอร์ที่เข้าไปในท่อเนื้อฟัน จากภาพตัดแนวขานท่อเนื้อฟัน วัดจากระยะตั้งแต่พื้นผิวของท่อเนื้อฟัน จนถึงระยะลึกที่สุดของสารลดการเลี้ยวพันพื้นฐานพอลิเมอร์ที่สามารถเข้าไปในแต่ละท่อเนื้อฟัน ชั้งผลึกของสารลดการเลี้ยวพันพื้นฐานพอลิเมอร์มีโอกาสหลุดออกระหว่างขั้นตอนการศึกษา จึงไม่นำข้อมูลมาวิเคราะห์ทางสถิติ แต่ใช้ในการประเมินความลึกของสารลดการเลี้ยวพันพื้นฐานพอลิเมอร์ที่เข้าไปในท่อเนื้อฟันเป็นไมโครเมตร (μm) โดยศึกษาความลึกของผลึกสารลดการเลี้ยวพันพื้นฐานพอลิเมอร์ที่ลึกที่สุด ในการศึกษานี้ใช้กำลังขยาย 1,000 เท่า ไม่ได้ศึกษาที่ 3,000 และ 5,000 เท่า เพื่อให้ได้ความลึกที่สุดที่สารลดการเลี้ยวพันพื้นฐานพอลิเมอร์สามารถลงໄไปได้

ขั้นตอนอย่างที่ใช้ศึกษาทั้งหมดจะถูกเก็บไว้ในภาชนะปิด เพื่อป้องกันฝุ่นละอองหรือลิ่งปนเปื้อน เนื่องจากอาจจะถูกนำมารีดด้วยกล้องจุลทรรศน์อิเล็กตรอนแบบล่องกราดอิกครั้งเมื่อต้องการ เมื่อเสร็จลินการศึกษาวิจัยจะรวมฟันดังกล่าว ไปทั้งในถังขยะติดเชือกของสำนักวิชาทันตแพทยศาสตร์ มหาวิทยาลัยแม่ฟ้าหลวง

การวิเคราะห์ทางสถิติ (Statistical Analysis)

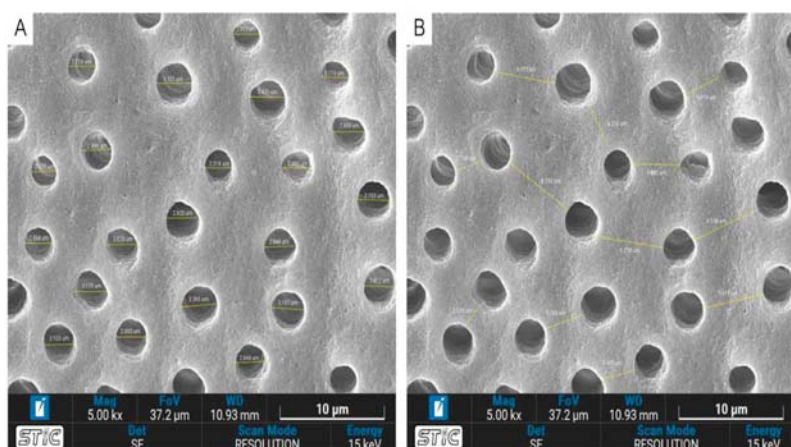
นำข้อมูลทั้ง 2 ชุด มาคำนวนสถิติใน IBM SPSS Statistics 29.0.0.0 (IBM Corporation New Orchard Road Armonk, NY 10504, USA) โดยนำมาทดสอบชาพิโร-วิลค์ (Shapiro-Wilk test) พบว่าข้อมูลเป็นชนิดพารามեต릭 (parametric) จึงใช้สถิติการวิเคราะห์ความแปรปรวนทางเดียว (one-way analysis of variance, ANOVA) ตามด้วยการทดสอบหลังวิเคราะห์ (posteriori tests หรือ post hoc test) โดยวิธีการเปรียบเทียบพหุคูณ (multiple comparison) ในการศึกษานี้จะใช้ทู基-เอชเอลดี (Tukey HSD) และ เชฟฟี (Scheffe) สำหรับการเปรียบเทียบข้อมูลชุดที่

1 ซึ่งเป็นการศึกษาสารลดการเลี้ยวพันพื้นฐานพอลิเมอร์ที่อุดท่อเนื้อฟัน โดยนับผลึกของสารลดการเลี้ยวพันพื้นฐานพอลิเมอร์ที่อุดท่อเนื้อฟัน จากภาพแนวตัดขวางท่อเนื้อฟันที่กำลังขยาย 1,000 เท่า ($p < 0.01$) ส่วนข้อมูลชุดที่ 2 เป็นการศึกษาสารลดการเลี้ยวพันพื้นฐานพอลิเมอร์ที่เข้าไปในท่อเนื้อฟัน โดยนับผลึกของสารลดการเลี้ยวพันพื้นฐานพอลิเมอร์ในท่อเนื้อฟัน จากภาพตัดแนวขานท่อเนื้อฟัน ใช้ในการประเมินการเข้าไปในท่อเนื้อฟันของสารลดการเลี้ยวพันพื้นฐานพอลิเมอร์

ผลการศึกษา (Results)

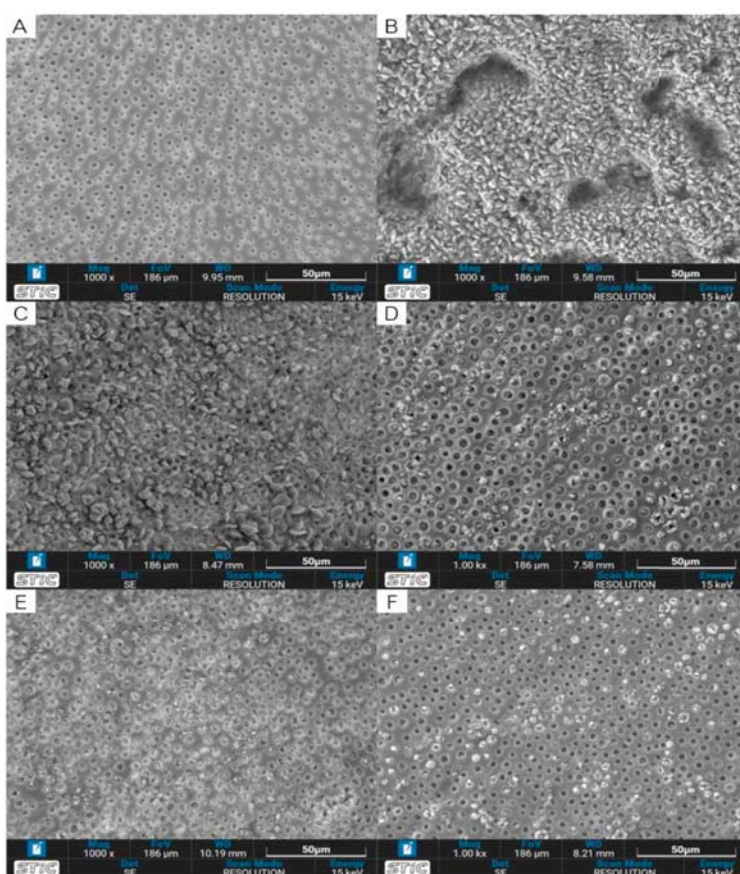
แผ่นเนื้อฟันทุกชิ้นที่นำมา กัดด้วยกรดฟอสฟอริก มีลักษณะของท่อเนื้อฟันที่ไม่มีชั้นสมเมียร์ พบเลี้นผ่านคูนย์กลางของท่อเนื้อฟันมีขนาด 2.34-3.43 ไมโครเมตร เฉลี่ย 2.94 ไมโครเมตร และระยะระหว่างท่อเนื้อฟัน (intertubular dentine) มีค่า 2.02-6.78 ไมโครเมตร (รูปที่ 3) เช่นเดียวกับภาพตัดขวางและภาพแนวขานท่อเนื้อฟัน จากกล้องจุลทรรศน์อิเล็กตรอนแบบล่องกราดของท่อเนื้อฟันที่กำลังขยาย 1,000 3,000 และ 5,000 เท่า ดังแสดงในรูป 4A-9A หลังจากทำสารลดการเลี้ยวพันพื้นฐานพอลิเมอร์ พบร่องผลึกพอลิเมอร์ปักคุณท่อเนื้อฟันที่เผยแพร่ (รูปที่ 4B-6B) และอยู่ภายใต้ท่อเนื้อฟัน (รูปที่ 7B-9B) เมื่อนำไปแช่ในน้ำรีเวอร์สօลูชันโซชิล เป็นเวลา 1, 3, 6 และ 12 ชั่วโมง จะพบว่าผลึกลดลง ผันตามเวลาที่ผ่านไป ทั้งภาพตัดขวางและภาพแนวขานท่อเนื้อฟัน (รูปที่ 4C-9C, 4D-9D, 4E-9E และ 4F-9F)

จากการศึกษาขั้นตอนอย่างที่ทางเจลต่างหลอดกันพบว่าอนุภาคของสารลดการเลี้ยวพันพื้นฐานพอลิเมอร์ทั้งสองหลอดมีขนาดและรูปร่างแตกต่างกัน จะเห็นว่ามีการpubผลึกที่รวมตัวกันเป็นกลุ่ม ๆ ดังแสดงในรูปที่ 4, 5 และ 6



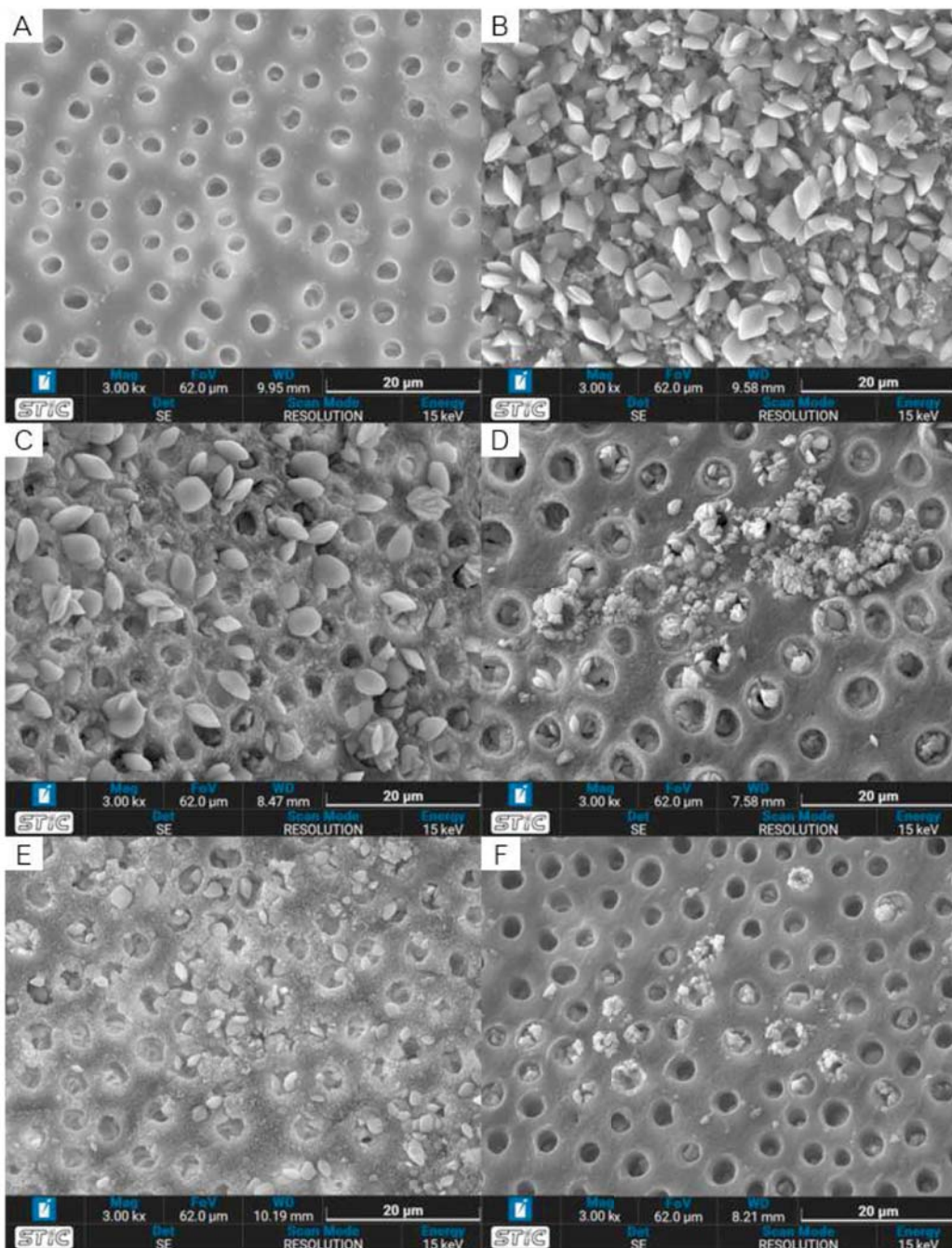
รูปที่ 3 ภาพจากกล้องจุลทรรศน์อิเล็กตรอนแบบส่องการดัดแสดงขนาดเส้นผ่านศูนย์กลางของห่อเนื้อฟัน (A) และระยะระหว่างห่อเนื้อฟัน (B) หลังกัดด้วยกรดฟอสฟอริก ที่กำลังขยาย 1,000 เท่า

Fig 3. SEM micrographs of diameter of dentinal tubules (A) and intertubular dentine (B) after phosphoric acid etched on magnification 1,000X.



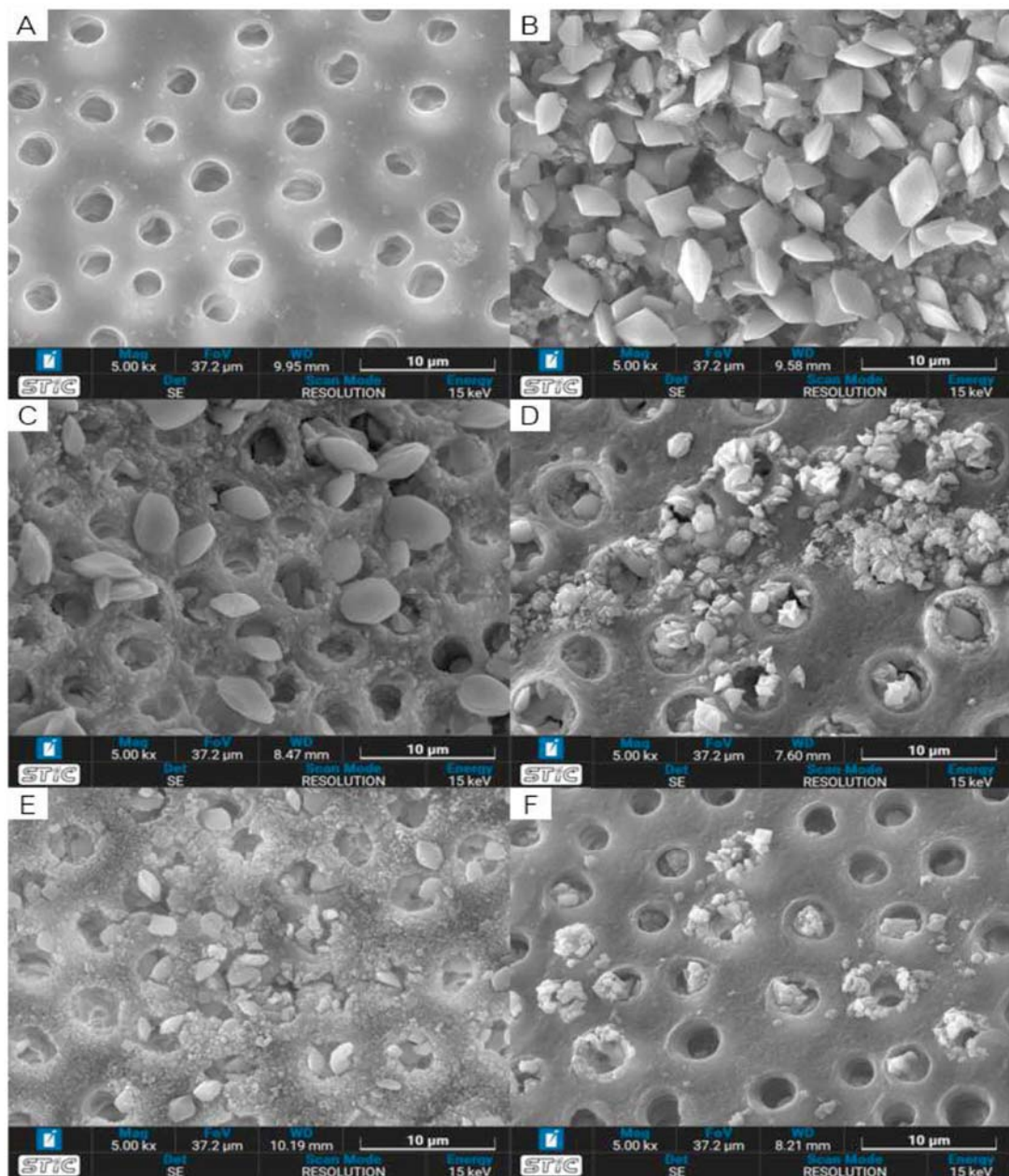
รูปที่ 4 ภาพจากกล้องจุลทรรศน์อิเล็กตรอนแบบส่องการดัดแสดงห่อเนื้อฟันในแนวตัดขวางหลังกัดด้วยกรดฟอสฟอริก (A) และทำการลดการเลี้ยวฟันพื้นฐานพอลิเมอร์ (B) หลังจากแช่ในน้ำรีเวอร์สօสโมซิส 1 ชั่วโมง (C) 3 ชั่วโมง (D) 6 ชั่วโมง (E) และ 12 ชั่วโมง (F) ที่กำลังขยาย 1,000 เท่า

Fig 4. SEM micrographs of the cross sectional view of dentinal tubules after phosphoric acid etched (A) then applied MS polymer (B) immersed in reverse osmosis water 1 hour (C) 3 hours (D) 6 hours (E) and 12 hours (F) on magnification 1,000X.



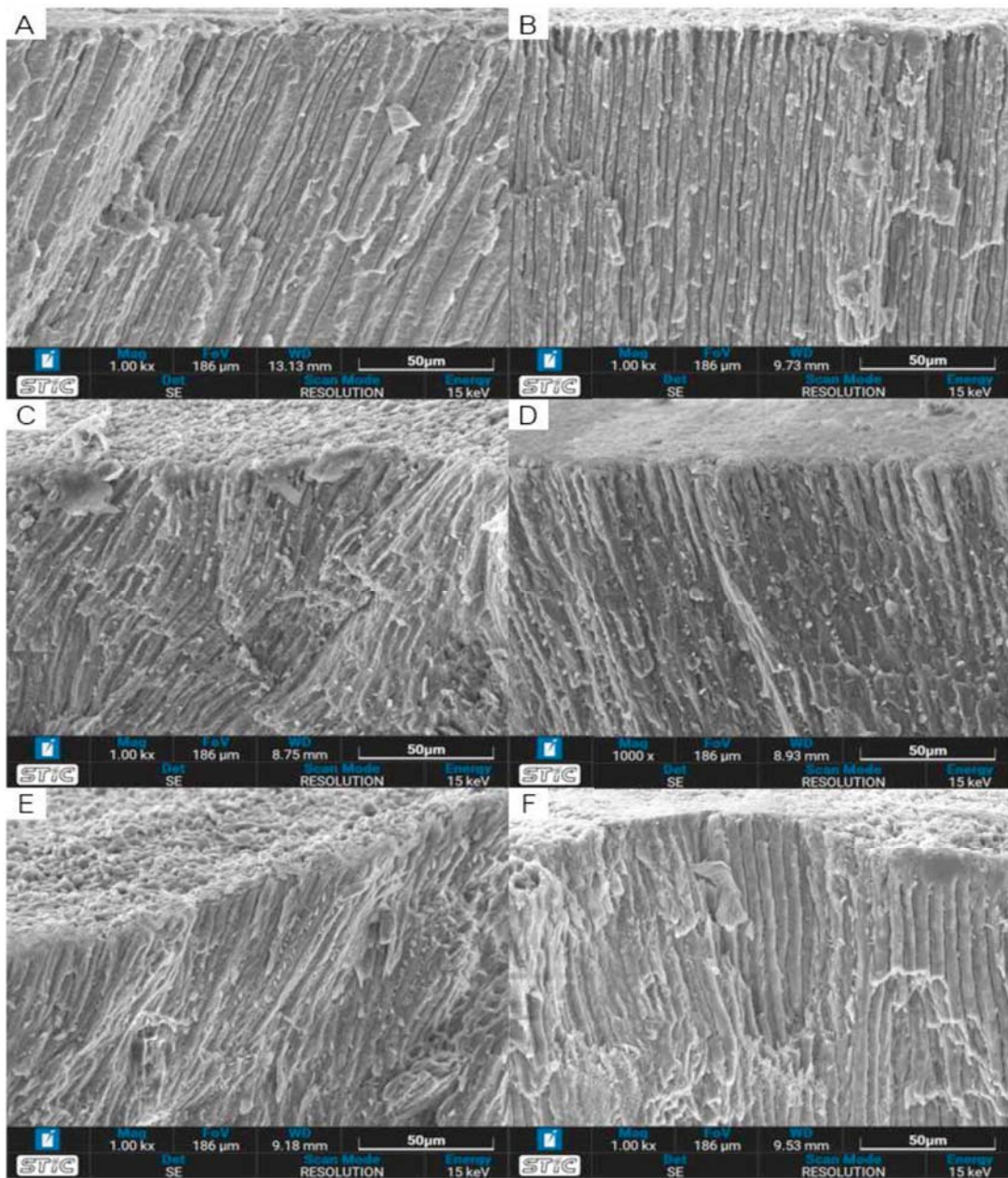
รูปที่ 5 ภาพจากกล้องจุลทรรศน์อิเล็กตรอนแบบส่องการดูแลและแสดงท่อเนื้อฟันในแนวตัดขวางหลังกัดด้วยกรดฟอฟอริก (A) และทาสารลดการเสียฟันพื้นฐานโพลิเมอร์ (B) หลังจากแช่ในน้ำเรียวรสองสูบโมซิล 1 ชั่วโมง (C) 3 ชั่วโมง (D) 6 ชั่วโมง (E) และ 12 ชั่วโมง (F) ที่กำลังขยาย 3,000 เท่า

Fig 5. SEM micrographs of the cross sectional view of dentinal tubules after phosphoric acid etched (A) then applied MS polymer (B) immersed in reverse osmosis water 1 hour (C) 3 hours (D) 6 hours (E) and 12 hours (F) on magnification 3,000X.



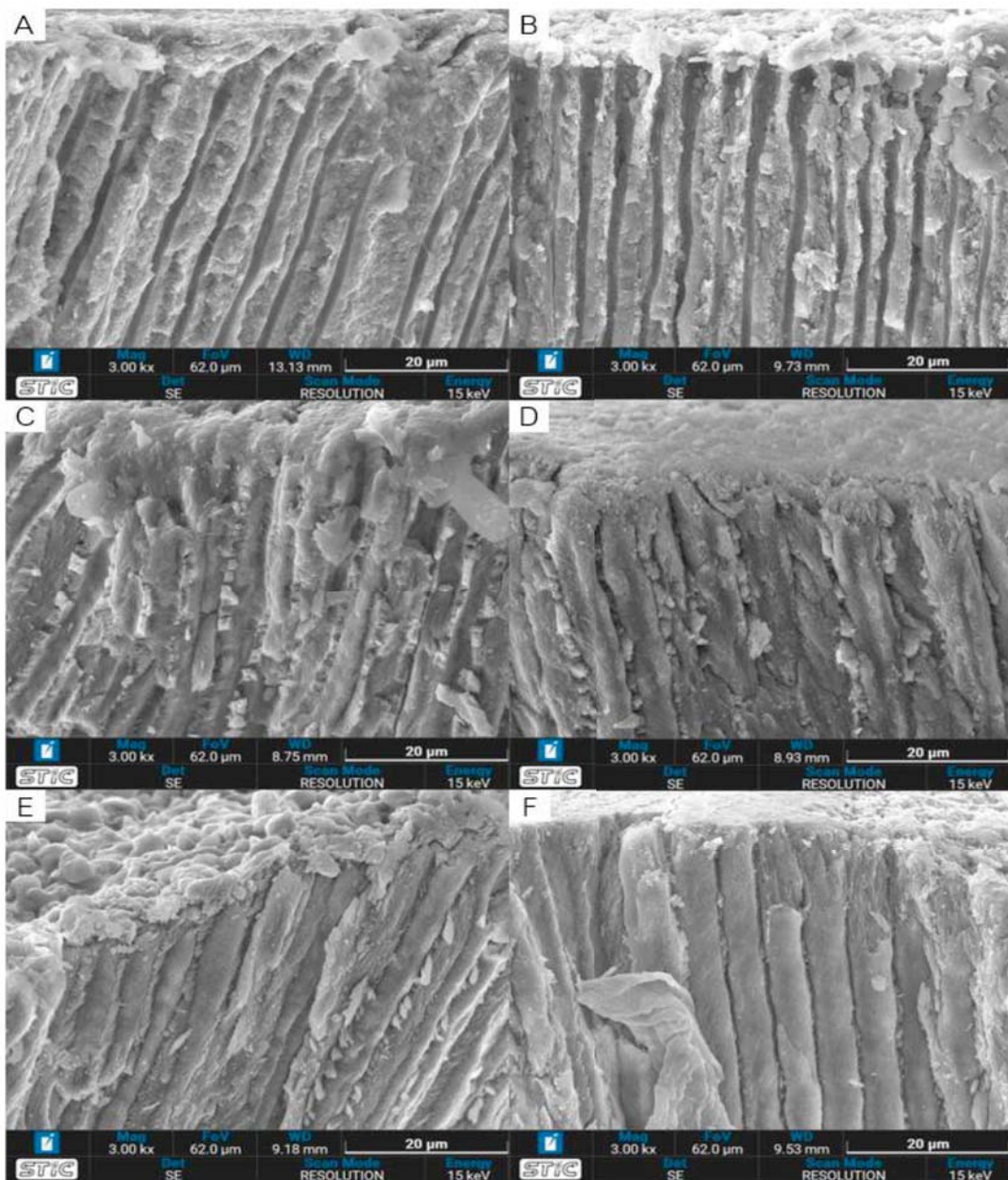
รูปที่ 6 ภาพจากกล้องจุลทรรศน์อิเล็กตรอนแบบส่องการดแสงท่อเนื้อฟันในแนวตัดขวางหลังกัดด้วยกรดฟอสฟอริก (A) และทาสารลดการเลี้ยงพื้นฐานโพลิเมอร์ (B) หลังจากแช่ในน้ำรีเวอร์ซอสโซลโอมซิล 1 ชั่วโมง (C) 3 ชั่วโมง (D) 6 ชั่วโมง (E) และ 12 ชั่วโมง (F) ที่กำลังขยาย 5,000 เท่า

Fig 6. SEM micrographs of the cross sectional view of dentinal tubules after phosphoric acid etched (A) then applied MS polymer (B) immersed in reverse osmosis water 1 hour (C) 3 hours (D) 6 hours (E) and 12 hours (F) on magnification 5,000X.



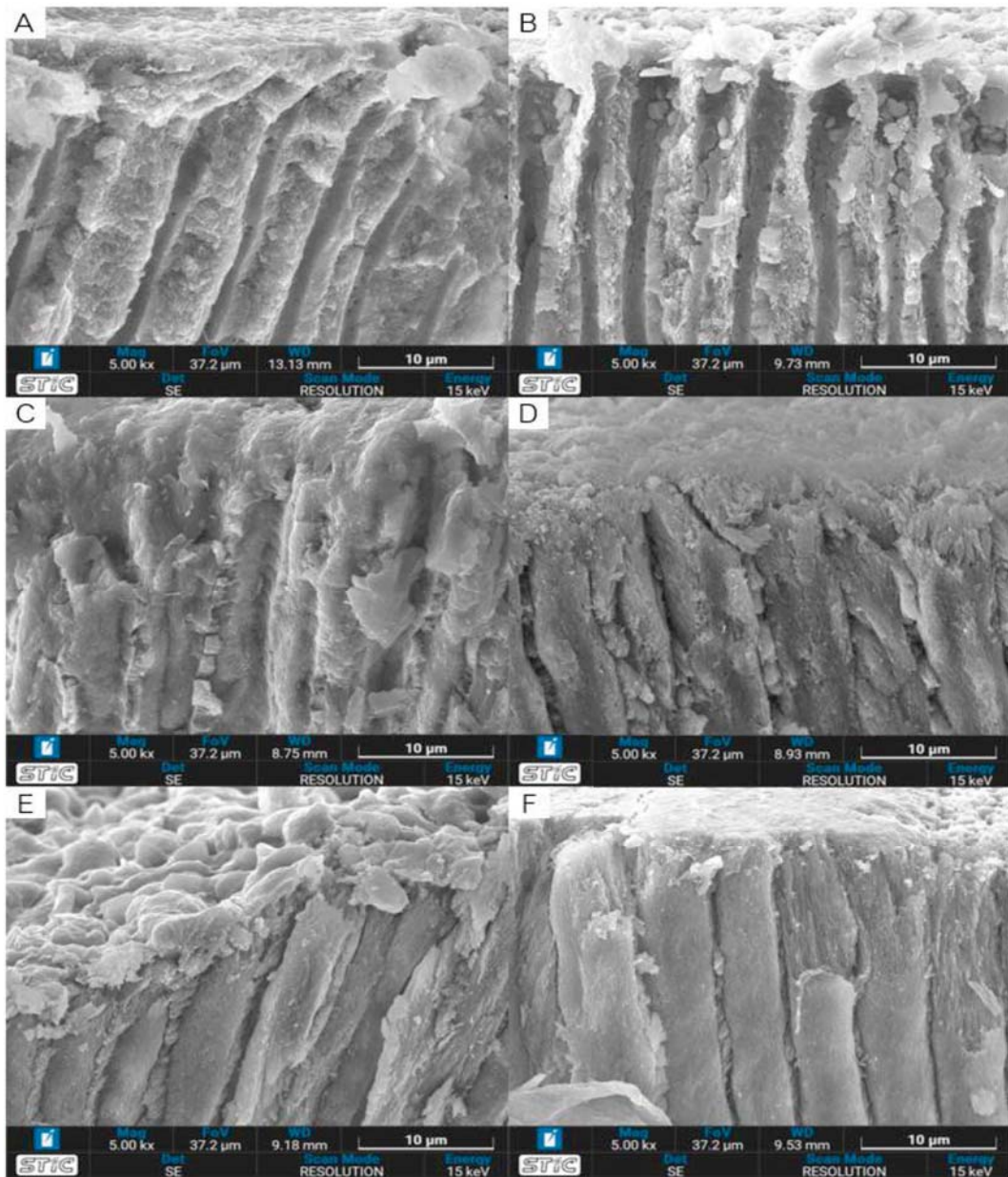
รูปที่ 7 ภาพจากกล้องจุลทรรศน์อิเล็กตรอนแบบส่องการดัดแปลงท่อเนื้อฟันที่ตัดในแนวขวางท่อเนื้อฟันหลังกัดด้วยกรดฟอสฟอริก (A) และทาสารลดการเลี้ยวฟันพื้นฐานโพลิเมอร์ (B) หลังจากแช่ในน้ำรีเวอร์ซอสโอมซิล 1 ชั่วโมง (C) 3 ชั่วโมง (D) 6 ชั่วโมง (E) และ 12 ชั่วโมง (F) ที่กำลังขยาย 1,000 เท่า

Fig 7. SEM micrographs of the longitudinal sectional view of dentinal tubules after phosphoric acid etched (A) then applied MS polymer (B) immersed in reverse osmosis water 1 hour (C) 3 hours (D) 6 hours (E) and 12 hours (F) on magnification 1,000X.



รูปที่ 8 ภาพจากกล้องจุลทรรศน์อิเล็กตรอนแบบส่องการดัดแสตนด์ท่อเนื้อฟันที่ตัดในแนวขานท่อเนื้อฟันหลังกัดด้วยกรดฟอสฟอริก (A) และทาสารลดการเสียฟันพื้นฐานโพลิเมอร์ (B) หลังจากแช่ในน้ำรีเวอร์ซอสโอมซิล 1 ชั่วโมง (C) 3 ชั่วโมง (D) 6 ชั่วโมง (E) และ 12 ชั่วโมง (F) ที่กำลังขยาย 3,000 เท่า

Fig 8. SEM micrographs of the longitudinal sectional view of dentinal tubules after phosphoric acid etched (A) then applied MS polymer (B) immersed in reverse osmosis water 1 hour (C) 3 hours (D) 6 hours (E) and 12 hours (F) on magnification 3,000X.



รูปที่ 9 ภาพจากกล้องจุลทรรศน์อิเล็กตรอนแบบส่องการดัดแสดงห่อเนื้อฟันที่ดัดในแนวขานานห่อเนื้อฟันหลังกัดด้วยกรดฟอฟอริก (A) และทำสารลดการเลี้ยวฟันพื้นฐานพอลิเมอร์ (B) หลังจากแช่ในน้ำเรียวร์สօօສໂມຊີສ 1 ชั่วโมง (C) 3 ชั่วโมง (D) 6 ชั่วโมง (E) และ 12 ชั่วโมง (F) ที่กำลังขยาย 5,000 เท่า

Fig 9. SEM micrographs of the longitudinal sectional view of dentinal tubules after phosphoric acid etched (A) then applied MS polymer (B) immersed in reverse osmosis water 1 hour (C) 3 hours (D) 6 hours (E) and 12 hours (F) on magnification 5,000X.

การวิเคราะห์ความแปรปรวนทางเดียวตามด้วย ทุกีเอชเอสตีและเซฟพีของภาพแนวตัดขวางท่อเนื้อฟัน มีความแตกต่างอย่างมีนัยสำคัญทางสถิติของแผ่นเนื้อฟันที่ถูกกรุด กับแผ่นเนื้อฟันที่ทำการลดการเสียฟันพื้นฐานพอลิเมอร์ในทุกกลุ่มการศึกษาที่ ($p < 0.01$) (ตารางที่ 1)

ตารางที่ 1 แสดงร้อยละของค่าเฉลี่ย ± ส่วนเบี่ยงเบนมาตรฐานการเข้าไปและความลึกของสารลดการเสียฟันพื้นฐานพอลิเมอร์ที่เข้าไปในท่อเนื้อฟัน จากภาพที่ได้จากการศึกษาด้วยกล้องจุลทรรศน์ อิเล็กตรอนแบบส่องกรด ของท่อเนื้อฟันในแนวขวาง และแนวนานาท่อเนื้อฟันที่กำลังขยาย 1,000 เท่า พบ ท่อเนื้อฟันเผยแพร่ผ่านห้องทดลองจากกัดด้วยกรดฟอสฟอริก และหลังจากทำการลดการเสียฟันพื้นฐานพอลิเมอร์ พบผลึกพอลิเมอร์ปกคลุ่มท่อเนื้อฟันที่เผยแพร่ผ่านร้อยละ 83.34 ± 12.17 และ 78.31 ± 11.75 พบผลึกของสารลดการเสียฟันพื้นฐานพอลิเมอร์ที่ลึกที่สุด 119.42 ไมโครเมตร เมื่อนำไปแขวน้ำรีเวอร์สօลโนซิล เป็นเวลา 1, 3, 6 และ 12 ชั่วโมง จะพบว่าผลึกลดลงพัน ตามเวลาที่ผ่านไป โดยภาพเนื้อฟันที่ตัดขวางร้อยละ 73.47 ± 6.91, 66.20 ± 37.21, 56.32 ± 9.66 และ 46.19 ± 4.71 ที่ 1, 3, 6 และ 12 ชั่วโมง และภาพนานาท่อเนื้อฟันร้อยละ 73.61 ± 13.02, 58.68 ± 15.37, 56.24 ± 13.57 และ 43.35 ± 4.71 ที่ 1, 3, 6 และ 12 ชั่วโมง พบความลึกของผลึกของสารลดการเสียฟันพื้นฐานพอลิเมอร์ที่ 112.15, 110.74, 109.86 และ 105.75 ไมโครเมตร ที่ 1, 3, 6 และ 12 ชั่วโมง

ตารางที่ 2 แสดงร้อยละของค่าเฉลี่ย ± ส่วนเบี่ยงเบนมาตรฐานการเข้าไปและความลึกของสารลดการเสียฟันพื้นฐานพอลิเมอร์ที่เข้าไปในท่อเนื้อฟัน จากภาพที่ได้จากการศึกษาด้วยกล้องจุลทรรศน์ อิเล็กตรอนแบบส่องกรด ของท่อเนื้อฟันในแนวขวาง และแนวนานาท่อเนื้อฟันที่กำลังขยาย 3,000 เท่า พบ ท่อเนื้อฟันเผยแพร่ผ่านห้องทดลองจากกัดด้วยกรดฟอสฟอริก และหลังจากทำการลดการเสียฟันพื้นฐานพอลิเมอร์ พบผลึกพอลิเมอร์ปกคลุ่มท่อเนื้อฟันที่เผยแพร่ผ่านร้อยละ 86.82 ± 11.29 และ 69.62 ± 24.44 เมื่อนำไปแขวน้ำรีเวอร์สօลโนซิล เป็นเวลา 1, 3, 6 และ 12

ชั่วโมง จะพบว่าผลึกลดลงพันตามเวลาที่ผ่านไป โดยภาพเนื้อฟันที่ตัดขวางร้อยละ 82.48 ± 9.19 , 79.28 ± 4.34 , 75.07 ± 11.73 และ 75.45 ± 18.23 ที่ 1, 3, 6 และ 12 ชั่วโมง และภาพนานาท่อเนื้อฟันร้อยละ 64.83 ± 12.42 , 60.22 ± 16.29 , 57.69 ± 11.18 และ 55.87 ± 15.02 ที่ 1, 3, 6 และ 12 ชั่วโมง

ตารางที่ 3 เช่นเดียวกับตารางที่ 2 แต่ศึกษาด้วยกล้องจุลทรรศน์อิเล็กตรอนแบบส่องกรดของห่อเนื้อฟันในแนวขวางและแนวนานาท่อเนื้อฟันที่กำลังขยาย 5,000 เท่า พบ ท่อเนื้อฟันเผยแพร่ผ่านห้องทดลองจากกัดด้วยกรดฟอสฟอริก และหลังจากทำการลดการเสียฟันพื้นฐานพอลิเมอร์ พบผลึกพอลิเมอร์ปกคลุ่มท่อเนื้อฟันที่เผยแพร่ผ่านร้อยละ 95.69 ± 4.98 และ 61.46 ± 22.67 เมื่อนำไปแขวน้ำรีเวอร์สօลโนซิล เป็นเวลา 1, 3, 6 และ 12 ชั่วโมง จะพบว่าผลึกลดลงพันตามเวลาที่ผ่านไป โดยภาพเนื้อฟันที่ตัดขวางร้อยละ 90.53 ± 17.64 , 86.19 ± 10.34 , 76.16 ± 7.86 และ 81.78 ± 7.95 ที่ 1, 3, 6 และ 12 ชั่วโมง และภาพนานาท่อเนื้อฟันร้อยละ 66.67 ± 10.84 , 64.05 ± 0.76 , 61.01 ± 21.01 และ 59.79 ± 10.11 ที่ 1, 3, 6 และ 12 ชั่วโมง

จากการที่ 1-3 เมื่อแบ่งการเข้าไปของสารลดการเสียฟันพื้นฐานพอลิเมอร์ในท่อเนื้อฟันออก เป็นกลุ่มตามการศึกษาของ Davies และคณะ (9) และ Chen และคณะ (25) จะพบว่าเนื้อฟันทั้งหมดเปิดหลังกัดด้วยกรดฟอสฟอริก และหลังจากทำการลดการเสียฟันพื้นฐานพอลิเมอร์จะพบผลึกอุดท่อเนื้อฟันมากกว่าร้อยละ 50 ทุกกลุ่มการทดลองและทุกกำลังขยาย ยกเว้นหลังจากแขวน้ำรีเวอร์สօลโนซิลนาน 12 ชั่วโมง ที่กำลังขยาย 1,000 เท่า พบผลึกอุดท่อเนื้อฟันร้อยละ 46.19 ± 4.71

การใช้สารลดการเสียฟันพื้นฐานพอลิเมอร์อุดท่อเนื้อฟันจะลดอาการเสียฟัน ดังนั้นจำนวนห่อเนื้อฟันถูกอุดมาก จะลดอาการเสียฟัน เช่นเดียวกับหากสารดังกล่าวเข้าไปในห่อเนื้อฟันยิ่งลึก การคงอยู่และคุณสมบัติการลดเสียฟันก็จะยิ่งเพิ่มขึ้น เมื่อเทียบกับก่อนทำการที่มีการเปิดของห่อเนื้อฟันทั้งหมด หลังจากทำการลดการเสียฟันพื้นฐานพอลิเมอร์จะมีการอุดของห่อเนื้อฟันบางถึงแม้ว่าจะผ่านไป ดังแสดงในตารางที่ 1-3

ตารางที่ 1 แสดงร้อยละของค่าเฉลี่ย ± ส่วนเบี่ยงเบนมาตรฐานการเข้าไปและความลึกของสารลดการเลี้ยวฟันพื้นฐานโพลิเมอร์ที่เข้าไปในห้องเนื้อฟัน จากภาพที่ได้จากการศึกษาด้วยกล้องจุลทรรศน์อิเล็กตรอนแบบส่องกราดของห้องเนื้อฟันในแนวขวางและแนวขานห้องเนื้อฟันที่กำลังขยาย 1,000 เท่า

Table 1. Percentage mean \pm SD of occluded and depth of penetrated MS polymer particles in cross sectional and longitudinal dentinal tubules from scanning electron micrograph on magnification 1,000X.

Method	Dentinal tubules (mean \pm SD)							
	Cross section (N = 4 each method)				Longitudinal section (N = 8 each method)			
	No. of tubules	No. of occluded tubules	%	Group	No. of tubules	No. of occluded tubules	%	Maximum depth (μm)
Etched	714.00 \pm 100.00	0.00 \pm 0.00	0.00 \pm 0.00*	5	36.75 \pm 4.53	0.00 \pm 0.00	0.00 \pm 0.00	0.00
Etched+Gel	559.75 \pm 90.50	471.75 \pm 124.36	83.34 \pm 12.17	2	27.88 \pm 7.74	22.13 \pm 7.55	78.31 \pm 11.75	119.42
Etched+Gel	633.75 \pm 258.76	459.25 \pm 172.13	73.47 \pm 6.91	2	37.63 \pm 5.76	27.50 \pm 5.18	73.61 \pm 13.02	112.15
	then RO							
	water 1 hr.							
Etched+Gel	556.00 \pm 92.90	355.00 \pm 198.66	66.20 \pm 37.21	2	38.50 \pm 5.37	22.00 \pm 3.70	58.68 \pm 15.37	110.74
	then RO							
	water 3 hrs.							
Etched+Gel	520.25 \pm 189.74	301.50 \pm 135.29	56.32 \pm 9.66	2	27.88 \pm 4.42	15.38 \pm 2.77	56.24 \pm 13.57	109.86
	then RO							
	water 6 hrs.							
Etched+Gel	508.50 \pm 233.59	234.75 \pm 114.86	46.19 \pm 4.71	3	33.13 \pm 6.71	14.75 \pm 7.21	43.35 \pm 4.71	105.75
	then RO							
	water 12 hrs.							

* Statistically significant difference from etched and etched plus gel in all groups at ($p < 0.01$).

ตารางที่ 2 แสดงร้อยละของค่าเฉลี่ย ± ส่วนเบี่ยงเบนมาตรฐานการเข้าไปและความลึกของสารลดการเลี้ยวฟันพื้นฐานโพลิเมอร์ที่เข้าไปในห้องเนื้อฟัน จากภาพที่ได้จากการศึกษาด้วยกล้องจุลทรรศน์อิเล็กตรอนแบบส่องกราดของห้องเนื้อฟันในแนวขวางและแนวขานห้องเนื้อฟันที่กำลังขยาย 3,000 เท่า

Table 2. Percentage mean \pm SD of occluded and depth of penetrated MS polymer particles in cross sectional and longitudinal dentinal tubules from scanning electron micrograph on magnification 3,000X.

Method	Dentinal tubules (mean \pm SD)						
	Cross section (N = 4 each method)			Group	Longitudinal section (N = 8 each method)		
	No. of tubules	No. of occluded tubules	%		No. of tubules	No. of occluded tubules	%
Etched	84.00 \pm 11.97	0.00 \pm 0.00	0.00 \pm 0.00	5	8.13 \pm 1.55	0.00 \pm 0.00	0.00 \pm 0.00
Etched+Gel	75.75 \pm 20.71	64.50 \pm 15.15	86.82 \pm 11.29	2	8.38 \pm 1.06	5.75 \pm 2.05	69.62 \pm 24.44
Etched+Gel	86.25 \pm 21.64	75.75 \pm 25.51	82.48 \pm 9.19	2	9.00 \pm 1.31	5.88 \pm 1.55	64.83 \pm 12.42
then RO							
water 1 hr.							
Etched+Gel	80.00 \pm 3.56	63.50 \pm 5.80	79.28 \pm 4.34	2	8.25 \pm 0.71	5.00 \pm 1.51	60.22 \pm 16.29
then RO							
water 3 hrs.							
Etched+Gel	82.00 \pm 6.32	61.00 \pm 4.76	75.07 \pm 11.73	2	8.00 \pm 0.76	4.63 \pm 1.06	57.69 \pm 11.18
then RO							
water 6 hrs.							
Etched+Gel	80.00 \pm 7.75	59.50 \pm 11.56	75.45 \pm 18.23	2	9.13 \pm 1.13	5.13 \pm 1.64	55.87 \pm 15.02
then RO							
water 12 hrs.							

ตารางที่ 3 แสดงร้อยละของค่าเฉลี่ย ± ส่วนเบี่ยงเบนมาตรฐานการเข้าไปและความลึกของสารลดการเลี้ยงฟันพื้นฐานโพลิเมอร์ที่เข้าไปในห้องเนื้อฟัน จากภาพที่ได้จากการศึกษาด้วยกล้องจุลทรรศน์อิเล็กตรอนแบบส่องกราดของห้องเนื้อฟันในแนวขวางและแนวขานห้องเนื้อฟันที่กำลังขยาย 5,000 เท่า

Table 3. Percentage mean ± SD of occluded and depth of penetrated MS polymer particles in cross sectional and longitudinal dentinal tubules from scanning electron micrograph on magnification 5,000X.

Method	Dentinal tubules (mean ± SD)						
	Cross section (N = 4 each method)			Group	Longitudinal section (N = 8 each method)		
	No. of tubules	No. of occluded tubules	%		No. of tubules	No. of occluded tubules	%
Etched	27.50 ± 4.65	0.00 ± 0.00	0.00 ± 0.00	5	5.25 ± 1.16	0.00 ± 0.00	0.00 ± 0.00
Etched+Gel	22.75 ± 15.11	21.50 ± 13.40	95.69 ± 4.98	2	5.00 ± 0.93	3.13 ± 1.46	61.46 ± 22.67
Etched+Gel	47.00 ± 35.99	43.00 ± 36.67	90.53 ± 17.64	2	5.63 ± 0.52	3.75 ± 0.71	66.67 ± 10.84
then RO							
water 1 hr.							
Etched+Gel	19.25 ± 6.29	16.25 ± 4.43	86.19 ± 10.34	2	6.25 ± 0.71	4.00 ± 0.76	64.05 ± 0.76
then RO							
water 3 hrs.							
Etched+Gel	31.00 ± 3.16	23.75 ± 4.57	76.16 ± 7.86	2	5.50 ± 0.93	3.38 ± 1.41	61.01 ± 21.01
then RO							
water 6 hrs.							
Etched+Gel	26.00 ± 4.69	21.00 ± 2.16	81.78 ± 7.95	2	5.75 ± 1.04	3.38 ± 0.52	59.79 ± 10.11
then RO							
water 12 hrs.							

บทวิจารณ์ (Discussion)

สารลดการเลี้ยวพันคระจะเข้าไปในท่อเนื้อพันแม้วelaผ่านไป เมื่อยู่ในสภาวะช่องปากที่มีน้ำลายซึ่งมีคุณสมบัติคล้ายน้ำมากที่สุด เนื่องจากน้ำลายของมนุษย์ประกอบด้วยน้ำร้อยละ 98 ส่วนที่เหลือเป็นอิเล็กโทรไลต์ (electrolyte) เมือก (mucous) สารยับยั้งแบคทีเรีย (antibacterial agent) และเอนไซม์ (enzyme) ชนิดต่าง ๆ เอนไซม์ในน้ำลายสามารถถอยเป็นที่อยู่ในอาหารในระดับโมเลกุล ซึ่งเป็นจุดเดิมต้นของการบวนการย่อยอาหาร น้ำลายช่วยฉลางอาหารที่ติดอยู่ตามซอกฟันและป้องไม่ให้เกิดการเน่าเสียจากแบคทีเรีย (bacteria) (26) น้ำลายจึงอาจมีผลต่อการแทรกซึมหรือการคงอยู่ของสารลดการเลี้ยวพัน ขณะเดียวกันก็จะปักคลุมเนื้อพัน การศึกษานี้จึงแซะพันในน้ำเรียวร์สองสอลโโนซิล

จากการศึกษาที่พบเลี้ยงผ่านคุณย์กลางของท่อเนื้อพันเฉลี่ยขนาด 2.94 ไมโครเมตร ลดคล้องกับการศึกษาเลี้ยงผ่านคุณย์กลางของท่อเนื้อพันในฟันรามแท้ในมนุษย์ (27-28) และระยะระหว่างท่อเนื้อพัน มีค่า 2.02-6.78 ไมโครเมตร ลดคล้องกับการศึกษาของ Xu และ Wang (29) พบรหัสท่อเนื้อพันที่เผยแพร่หลังกัดด้วยกรดฟอสฟอริก ซึ่งเป็นลักษณะเดียวกับผู้ที่มีอาการเลี้ยวพันจากการเผยแพร่ของท่อเนื้อพัน การทำสารลดการเลี้ยวพันจะช่วยอุดท่อเนื้อพันดังกล่าว ลดคล้องกับการศึกษานี้ที่พบผลสารลดการเลี้ยวพันอุดปากท่อเนื้อพันและสามารถลึกลงไปในท่อเนื้อพันได้อีกด้วย จากภาพแนวตัดขวางและแนวขานาท่อเนื้อพันที่ได้จากการล้องจุลทรรศน์อิเล็กตรอนแบบส่องกราด ภายในท่อได้กำลังขยาย 1,000 3,000 และ 5,000 เท่า และจะทำให้ลดการเลี้ยวพันได้ เช่นเดียวกับการศึกษาของ Gillam และคณะ (30) พบรหัสของออกชาเลตนและในท่อเนื้อพัน และ Kameyama และคณะ (14) ที่พบการอุดท่อเนื้อพันโดยอิทธิยาวย่างเกิดจากฟลูออโรไดออกอนทำปฏิกิริยา กับแคลเซียมไออกอน จนเกิดอนุภาคแคลเซียมฟลูออโรได (calcium fluoride particle) เข้าไปอุดท่อเนื้อพัน (18,31) และยังคงอุดท่อเนื้อพันลดลงหลังใส่กรด (15,32-33) การเกิดปฏิกิริยาดังกล่าวทำให้เกิดอนุภาคที่มีขนาดแตกต่างกัน ดังปรากฏในภาพที่ได้จากการล้องจุลทรรศน์อิเล็กตรอนแบบส่องกราด

ภาพที่ได้จากการล้องจุลทรรศน์อิเล็กตรอนแบบส่องกราดที่กำลังขยาย 1,000 เท่า จะเห็นผลึกของสารลดการเลี้ยวพันพื้นฐานพอลิเมอร์ และจะเห็นลักษณะของผลึกชัดเจนที่กำลังขยายใหญ่ขึ้น คือ 3,000 และ 5,000 เท่า ดังแสดงในภาพตัดขวางท่อเนื้อพัน จำนวนและความลึกของท่อเนื้อพันที่ถูกอุดด้วยผลึกจะมีค่าใกล้เคียงความจริงที่กำลังขยายต่ำ (ในการศึกษานี้คือ 1,000 เท่า) มากกว่าค่าที่ได้จากการล้องจุลทรรศน์ (ในการศึกษานี้คือ 3,000 และ 5,000 เท่า) เนื่องจากจะเห็นท่อเนื้อพันเป็นบริเวณกว้างและการเข้าไปของสารไม่ได้ล้มเหลวอกันตลอดท่อเนื้อพัน ล้วนภาพที่ได้จากการตัดแนวขานาท่อเนื้อพัน พบว่าที่กำลังขยาย 1,000 เท่า เห็นผลึกไม่ชัดเจน จึงต้องขยายให้ได้กำลังขยาย 3,000 และ 5,000 เท่า เพื่อให้ได้ภาพชัดและระยะลึกสูงที่ผลึกเข้าไปในท่อเนื้อพัน ทำให้การวัดความลึกของสารลดการเลี้ยวพันพื้นฐานพอลิเมอร์ที่เข้าไปในท่อเนื้อพัน จึงใช้กำลังขยาย 1,000 เท่า เท่านั้น ทั้งนี้จึงไม่ได้คำนวณทางสถิติที่กำลังขยาย 3,000 และ 5,000 เท่า เนื่องจากพื้นที่ที่ใช้ศึกษาถูกขยายเพียงตำแหน่งใดตำแหน่งหนึ่ง ทำให้ค่าที่ได้ไม่น่าเชื่อถือเมื่อเทียบกับค่ากำลังขยายที่ 1,000 เท่า

เนื่องจากกำลังขยายต่ำที่สุดของกการล้องจุลทรรศน์แบบส่องกราด ที่พอยามมองเห็นสารลดการเลี้ยวพันพื้นฐานพอลิเมอร์ที่ใช้ในการศึกษานี้อยู่ในท่อเนื้อพันคือ 1,000 เท่า ซึ่งอาจจะมีผลึกของสารลดการเลี้ยวพันพื้นฐานพอลิเมอร์ลงไปในท่อเนื้อพันลึกกว่านั้น แต่ไม่สามารถใช้กำลังขยายที่ต่ำกว่า 1,000 เท่า ได้ ทำให้ค่าความลึกของสารลดการเลี้ยวพันพื้นฐานพอลิเมอร์ที่เข้าไปในท่อเนื้อพันอาจน้อยกว่าที่เป็นจริง นอกจากนี้วิธีการผ่าแยกชิ้นตัวอย่างทำให้ชิ้นสารลดการเลี้ยวพันพื้นฐานพอลิเมอร์ที่อยู่ในท่อเนื้อพันหลุดออกจากท่อเนื้อพัน ค่าที่ได้จึงน้อยกว่าความเป็นจริง หากศึกษาด้วยกล้องจุลทรรศน์แบบโพกส์ร่วมชนิดที่ใช้เลเซอร์ในการสแกน (Confocal laser scanning microscope, CLSM; LSCM) ก็จะได้ค่าที่แท้จริงกว่านี้ เนื่องจากเป็นกล้องจุลทรรศน์ชนิดที่ใช้เลเซอร์ในการสแกน สามารถใช้งานได้อย่างกว้างขวางในการศึกษาทางชีววิทยา โดยเฉพาะอย่างยิ่งงานที่ต้องการภาพความละเอียดสูง และเก็บภาพเฉพาะบริเวณจุดโพกส์

โดยสามารถเลือกระดับความลึกของชั้นตัวอย่างที่ต้องการได้ ให้ภาพที่มีความสว่างและความคมชัดสูงเพิ่มความแตกต่างของสัญญาณฟลูออเรสเซนซ์ (fluorescence) ภาพที่ได้จึงมีคุณภาพความคมชัดสูง มีความจำเพาะและความไวในการจำแนกและรับสัญญาณ แสงได้ โดยไม่จำเป็นต้องใช้โปรเกรэмเมริม และยังสามารถสแกนได้ 3 สี พร้อมกัน ทั้งยังสามารถกำหนดค่าการสแกนภาพได้หลายรูปแบบ จะช่วยให้สามารถอ่านสารที่เข้าไปในห่อเนื้อฟันได้อย่างแท้จริง แต่การศึกษาวิจัยนี้ มีข้อจำกัดในเรื่องงบประมาณและเวลา จึงศึกษาโดยการใช้กล้องจุลทรรศน์อิเล็กตรอนแบบส่องกระดิชซึ่งต้องแบ่งพื้นตามแนวยาวของห่อเนื้อฟัน มีผลให้สารที่เข้าไปอยู่ในห่อเนื้อฟันหลุดออก จึงได้ค่าความลึกของสารที่เข้าไปในห่อเนื้อฟันน้อยกว่าความเป็นจริง และจากเทคนิคการศึกษาด้วยกล้องจุลทรรศน์อิเล็กตรอนแบบส่องกระดิช ไม่สามารถกำหนดภาพให้ได้ภาพที่มีองค์ประกอบของชั้นตัวอย่างที่เหมือนหรือใกล้เคียงกัน โดยเฉพาะภาพที่เกิดจากการตัดตามแนวห่อเนื้อฟัน เนื่องจากมีปัจจัยที่ส่งผลกระทบที่ได้ เช่น แนวการตัด ชั้นส่วนตามแนวห่อเนื้อฟัน การเตรียมชั้นตัวอย่าง ระนาบ การถ่ายภาพที่ได้จากการกล้องจุลทรรศน์อิเล็กตรอนแบบส่องกระดิช ดังนั้นการใช้กล้องจุลทรรศน์แบบไฟฟ้าส่วนร่วมชนิดที่ใช้เลเซอร์ในการสแกน จะทำให้ผลได้ชัดเจนถูกต้องยิ่งขึ้น

จากการใช้เจลคนละหลอด และพบอนุภาคของสารลดการเลียฟันพื้นฐานพอลิเมอร์แต่ละหลอดมีขนาดและรูปร่างแตกต่างกัน โดยพบผลึกที่รวมตัวกันเป็นกลุ่ม ๆ ซึ่งอาจเกิดมาจากการไม่เป็นเนื้อเดียวกันของสารลดการเลียฟันพื้นฐานพอลิเมอร์ เช่น ส่วนต้นของหลอด ซึ่งต้องมีการศึกษาวิจัยต่อไปว่าเป็นที่สารลดการเลียฟันพื้นฐานพอลิเมอร์ กระบวนการเก็บสารลดการเลียฟันพื้นฐานพอลิเมอร์ เช่น อายุ อุณหภูมิ ความชื้น หรืออื่น ๆ นอกจากนี้ เมื่อเวลาผ่านไปสารที่อยู่ในห่อเนื้อฟันและบนห่อเนื้อฟันลดลง อาจมีการหลุดออกโดยการจะล้างจากน้ำหรือแรงค้าพิลลารี (capillary force) ซึ่งเป็นแรงดึงที่เกิดจากการดึงดูดระหว่างโมเลกุลของน้ำด้วยกันเอง (cohesion) และแรงยึดติดของโมเลกุลน้ำกับพื้นผิวหรือผนังเซลล์

การศึกษาของ Mehta และคณะ (34) ด้วยมาตรวัดความปวดด้วยสายตา (Visual Analog Scale, VAS) นาน 6 เดือน พบสารลดการเลียฟันพื้นฐานพอลิเมอร์ สามารถลดการเลียฟันได้ แต่ผลที่ได้น้อยกว่านาโนเซลล์ (Nanoseal, Nippon Shika Yakuhin Co., Ltd., Shimonoseki, Japan), ทีฟเมท (Teethmate Desensitizer, Kuraray Noritake Dental Inc., Okayama, Japan) และ กลูมา (Gluma Desensitizer PowerGel, Heraeus Kulzer, Hanau, Germany) สอดคล้องกับการศึกษานี้ที่พบการอุดปิดห่อเนื้อฟันบางส่วนและลดน้อยลงเมื่อเวลาผ่านไป ขณะที่ Mushtaq และคณะ (35) ศึกษาการอุดปิดห่อเนื้อฟันของสารลดการเลียฟันพื้นฐานพอลิเมอร์ ด้วยกล้องจุลทรรศน์อิเล็กตรอนแบบส่องกระดิชพบว่า สารลดการเลียฟันพื้นฐานพอลิเมอร์สามารถอุดปิดห่อเนื้อฟันได้เหนือกว่าวิวาเซนส์ (VivaSens®, Ivoclar Vivadent) และ กลูมา ส่วน Nomura และคณะ (36) ใช้การศึกษาตามรูปแบบการศึกษาการซึมผ่านห่อเนื้อฟันของ Pashley (32) พบสารลดการเลียฟันพื้นฐานพอลิเมอร์สามารถลดการซึมผ่านของสารในห่อเนื้อฟันได้ ต่อมามาในปี 2022 Matsuda และคณะพับฟลูอโอลิโอด์ในสารลดการเลียฟันยังคงอยู่ที่ผิวน้ำห่อเนื้อฟันและลึกเข้าไปในชั้นห่อเนื้อฟัน ส่งเสริมให้เกิดการทำให้เป็นแร่ (mineralization) (16) นอกจากนี้การออกชาลิกในสารลดการเลียฟันมีบทบาทในการเป็นชั้นต้านกรด (acid-resistant layer) และล่งเสริมให้เกิดผลึกแคลเซียมออกชาลิกที่ไม่ละลายน้ำปักคลุมผิวน้ำห่อเนื้อฟัน (37)

จากการศึกษานี้พบประสิทธิภาพของสารลดการเลียฟันพื้นฐานพอลิเมอร์อุดห่อเนื้อฟันและเข้าไปในห่อเนื้อฟัน กล่าวได้ว่า สารลดการเลียฟันพื้นฐานพอลิเมอร์ ควรจะมีคุณสมบัติดการเลียฟันในมนุษย์ได้ จึงควรจะมีการศึกษาต่อไปในสภาพที่เสมือนจริงในช่องปาก เช่น การคงตัวของสารในสภาวะแวดล้อมช่องปากที่มีน้ำลาย ความชื้น อุณหภูมิ ความเป็นกรดด่างจากอาหาร เครื่องดื่ม ความดันในโพรงน้ำห่อใน (pulp pressure) จะมีผลต่อสารลดการเลียฟันพื้นฐานพอลิเมอร์นี้หรือไม่อย่างไร รวมถึงการศึกษาในระยะเวลานานขึ้น เพื่อให้เห็นผลทางคลินิก

บทสรุป (Conclusion)

ผลการเลี้ยงฟันเพื่อสุขภาพอย่างมีประสิทธิภาพ และคงอยู่ ในการอุดและลึกเข้าไปในท่อเนื้อฟันมากกว่า ร้อยละ 50 หลังทำสาร 12 ชั่วโมง

การขัดแย้งแห่งประโยชน์ส่วนบุคคลและผลประโยชน์ส่วนรวม (Conflict of Interest)

ผู้จัดมิได้มีผลประโยชน์ทับซ้อนในการศึกษา วิจัยฉบับนี้

เอกสารอ้างอิง (References)

1. Dowell P, Addy M. Dentine hypersensitivity –a review. Aetiology, symptoms and theories of pain production. *J Clin Periodontol.* 1983;10(4):341-50.
2. Kijksamamith K, Surarit R, Vongsavan N. Effect of tropical fruit juices on dentine permeability and erosive ability in removing the smear layer: An in vitro study. *J Dent Sci.* 2016;11(2):130-5.
3. Brannstrom M. The hydrodynamic theory of dentinal pain: sensation in preparations, caries, and the dentinal crack syndrome. *J Endod.* 1986;12(10):453-7.
4. Kanehira M, Ishihata H, Saito M. Dentin hypersensitivity: Etiology, prevalence and treatment modalities. In: Sasaki K, Suzuki O, Takahashi N, editors. *Interface oral health science 2014.* Tokyo: Springer; 2015. p.325-33.
5. Liu XX, Tenenbaum HC, Wilder RS, Quock R, Hewlett ER, Ren YF. Pathogenesis, diagnosis and management of dentin hypersensitivity: an evidence-based overview for dental practitioners. *BMC Oral Health.* 2020;20(1):220. doi: 10.1186/s12903-020-01199-z.
6. Davari A, Ataei E, Assarzadeh H. Dentin hypersensitivity: etiology, diagnosis and treatment; a literature review. *J Dent.* 2013;14(3):136-45.
7. Morris MF, Davis RD, Richardson BW. Clinical efficacy of two dentin desensitizing agents. *Am J Dent.* 1999;12(2):72-6.
8. Pillon FL, Romani IG, Schmidt ER. Effect of a 3% potassium oxalate topical application on dentinal hypersensitivity after subgingival scaling and root planing. *J Periodontol.* 2004; 75(11):1461-4.
9. Davies M, Paice EM, Jones SB, Leary S, Curtis AR, West NX. Efficacy of desensitizing dentifrices to occlude dentinal tubules. *Eur J Oral Sci.* 2011;119(6):497-503.
10. Gillam DG, Khan N, Mordan NJ, Barber PM. Scanning electron microscopy (SEM) investigation of selected desensitizing agents in the dentine disc model. *Endod Dent Traumatol.* 1999;15(5):198-204.
11. Chinajitphan N, Ajcharanukul O, Kijksamamith K, Vongsavan N, Matthews B. Time-course of the effect of potassium oxalate in the treatment of hypersensitive dentine in man. *Arch Oral Biol.* 2021;126:105109. doi: 10.1016/j.archoralbio.2021.105109.
12. Kijksamamith K, Wallanon P, Pitchayasatit C, Kittiratanavivat P. The effect of fluoride iontophoresis on seal ability of self-etch adhesive in human dentin in vitro. *BMC Oral Health.* 2022; 22(1):109. doi: org/10.1186/s12903-022-02146-w.
13. Kijksamamith K, Monthongjulaket N, Kuanpradit N, Thongwong K, Kijprasert N. The effect of iontophoresis delivery of fluoride in stannous fluoride desensitizing toothpaste on dentin permeability in human extracted teeth. *Sci Rep.* 2022;12(1):13615. doi: 10.1038/s41598-022-18043-9.

14. Kameyama A, Haruyama A, Nakazawa Y, Furusawa M, & Muramatsu T. Micrographic and spectroscopic analyses of the application of methyl methacrylate-p-styrene sulfonic acid copolymer-based desensitizing agents to bovine dentin. *Asian Pac J Dent.* 2019;19(iss 2):51-7.
15. Oshima M, Hamba H, Sadr A, Nikaido T, Tagami J. Effect of polymer-based desensitizer with sodium fluoride on prevention of root dentin demineralization. *Am J Dent.* 2015;28(3):123-7.
16. Matsuda Y, Altankhishig B, Okuyama K, Yamamoto H, Naito K, Hayashi M, Sano H, Sidhu SK, Saito T. Inhibition of demineralization of dentin by fluoride-containing hydrogel desensitizers: An in vitro study. *J Funct Biomater.* 2022;13(4):246. doi: 10.3390/jfb13040246.
17. Ma Q, Wang T, Meng Q, Xu X, Wu H, Xu D, Chen Y. Comparison of in vitro dentinal tubule occluding efficacy of two different methods using a nano-scaled bioactive glass-containing desensitising agent. *J Dent.* 2017;60:63-9.
18. Obayashi S, Hamba H, Nakamura K, Nikaido T, Tagami J. Preventive effect of experimental polymer-based desensitizers with NaF on demineralization of root dentin-observed using micro-CT. *Dent Mater J.* 2020;39(6):1050-6.
19. Mordan NJ, Barber PM, Gillam DG. The dentine disc. A review of its applicability as a model for the in vitro testing of dentine hypersensitivity. *J Oral Rehabil.* 1997;24(2):148-56.
20. Gillam DG, Mordan NJ, Newman HN. The dentin disc surface: a plausible model for dentin physiology and dentin sensitivity evaluation. *Adv Dent Res.* 1997;11(4):487-501.
21. Pereira JC, Martineli AC, Tung MS. Replica of human dentin treated with different desensitizing agents: a methodological SEM study in vitro. *Braz Dent J.* 2002;13(2):75-85.
22. Berg C, Unosson E, Engqvist H, Xia W. Comparative study of technologies for tubule occlusion and treatment of dentin hypersensitivity. *J Funct Biomater.* 2021;12(2):27. doi: 10.3390/jfb12020027.
23. Chatanan A, KijSAMANMITH K, Kerdvongbundit V, Aroonrangsee T, Vongsavan N. Effect of a modified methyl methacrylate-pstyrene sulfonic acid copolymer-based gel desensitizer on dentin permeability and tubule occlusion in human dentin in vitro. *J Dent Sci.* 2024;19(3):in press.
24. Eldarrat A, High A, Kale GM. Age-related changes in cyclic voltammetry and potentiodynamic studies of normal human dentine. *J Mater Sci Mater Med.* 2003;14(11):979-84.
25. Chen CL, Parolia A, Pau A, Celerino de Moraes Porto IC. Comparative evaluation of the effectiveness of desensitizing agents in dentine tubule occlusion using scanning electron microscopy. *Aust Dent J.* 2015;60(1):65-72.
26. Wikipedia. Saliva [Internet]. Wikipedia; 2023 [cited 2023 April]. Available from: URL: <https://th.wikipedia.org/wiki/%E0%B8%99%E0%B9%89%E0%B8%B3%E0%B8%A5%E0%B8%B2%E0%B8%A2>.
27. Schilke R, Lisson JA, Bauss O, Geurtsen W. Comparison of the number and diameter of dentinal tubules in human and bovine dentine by scanning electron microscopic investigation. *Arch Oral Biol.* 2000;45(5):355-61.

28. Lopes MB, Sinhoreti MA, Gonini Júnior A, Consani S, McCabe JF. Comparative study of tubular diameter and quantity for human and bovine dentin at different depths. *Braz Dent J.* 2009;20(4):279-83.
29. Xu C, Wang Y. Chemical composition and structure of peritubular and intertubular human dentine revisited. *Arch Oral Biol.* 2012; 57(4):383-91.
30. Gillam DG, Mordan NJ, Sinodinou AD, Tang JY, Knowles JC, Gibson IR. The effects of oxalate-containing products on the exposed dentine surface: an SEM investigation. *J Oral Rehabil.* 2001;28(11):1037-44.
31. Arends J, Duschner H, Ruben JL. Penetration of varnishes into demineralized root dentine in vitro. *Caries Res.* 1997;31(3):201-5.
32. Pashley DH, Galloway SE. The effects of oxalate treatment on the smear layer of ground surfaces of human dentine. *Arch Oral Biol.* 1985; 30(10):731-7.
33. Tay FR, Pashley DH, Mak YF, Carvalho RM, Lai SC, Suh BI. Integrating oxalate desensitizers with total-etch two-step adhesive. *J Dent Res.* 2003;82(9):703-7.
34. Mehta D, Gowda VS, Santosh A, Finger WJ, Sasaki K. Randomized controlled clinical trial on the efficacy of dentin desensitizing agents. *Acta Odontol Scand.* 2014;72(8):936-41.
35. Mushtaq S, Gupta R, Dahiya P, Kumar M, Bansal V, Melwani SR. Evaluation of different desensitizing agents on dentinal tubule occlusion: A scanning electron microscope study. *Indian J Dent Sci.* 2019;11(3):121-4.
36. Nomura Y, Yasuo K, Iwata N, Yoshikawa K, Yamamoto K. Effect of various materials on dentin permeability for the treatment of dentin hypersensitivity. *Jpn J Conserv Dent.* 2013;56(6): 516-25.
37. Oguma H, Matsuda Y, Yoshihara K, Okuyama K, Sakurai M, Saito T, Inoue S, Yoshida Y. Prevention of root caries using oxalic acid. *Materials.* 2023;16(4):1454.

ติดต่อข้อมูลความ:

ทพญ. อธิมาศ ชัยภูมินันต์
โรงพยาบาลพระนั่งเกล้า 91 ถนนทบวงฯ ต.บางกระ或多
อ.เมือง จ.นนทบุรี 11000
โทรศัพท์ : 084 077 9137
อีเมลล์ : athimas.cha@gmail.com

Corresponding author:

Dr. Athimas Chatanan
Pranangkla Hospital 91 Nonthaburi Road,
Bang Krasaw, Mueang Nonthaburi District,
Nonthaburi 11000, Thailand.
Tel: (668) 4077 9137
E-mail: athimas.cha@gmail.com